

Был. XVIII.

Р. 1630

Механического Института

Московского Технического Училища.

N/39.

Выпускъ XVIII.

Холодильная лабораторія.

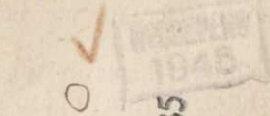
В. Е. Цыдзикъ и И. В. Арбатскій.

Определеніе коэффиціентовъ теплопроводности изоляціонныхъ матеріаловъ „Шевелина“, „Морозина“ и пробковыхъ пластинъ.

Отдѣльный оттискъ изъ журнала „Вѣстникъ Инженеровъ“, № 10, 15 мая 1916 г.

МОСКВА.—1916.

208



P 51630 ✓

Провер. 1935

БІБЛІОТЕКА

ІМПЕРІАЛЬСЬКОЇ

УНІВЕРСИТЕТСЬКОЇ

# Опредѣленіе коэффициентовъ теплопроводности изоляціонныхъ материаловъ „шевелина“, „морозина“ и пробковыхъ пластинъ.

В. Е. Цыдзикъ и И. В. Арбатскій.

Задача опредѣленія коэффициентовъ теплопроводности для появившихся недавно на рынкѣ изоляціонныхъ материаловъ «шевелинъ» и «морозинъ» была поставлена намъ Московскимъ Холодильнымъ Комитетомъ въ цѣляхъ выясненія вопроса о возможности замѣны пробковыхъ пластинъ означенными материалами, производимыми изъ отбросовъ нашей льняной промышленности—костры и короткихъ льняныхъ волоконъ.

Имѣлось въ виду установить зависимость коэффициентовъ теплопроводности отъ степени прессовки пластинъ «морозина», отъ пропитки ихъ разными растворами, долженствующими сообщить имъ огнеупорность и водоупорность, зависимость коэффициента теплопроводности отъ температуры, а также зависимости коэффициента теплопроводности полотенъ «шевелина» отъ степени сжатія.

Считаясь съ тѣмъ, что обстоятельства военного времени не позволили осуществить полностью намѣченную программу изслѣдованія, мы рѣшили ограничиться въ настоящее время краткимъ сообщеніемъ того, что уже слѣдано и что представляеть наибольшій практическій интересъ, отказавшись временно отъ решенія вопроса объ установлениіи зависимости коэффициентовъ теплопроводности отъ температуры, такъ какъ вопросъ этотъ съ практической точки зрѣнія представляетъ наименьшій интересъ.

Идея устройства прибора и основы его конструкціи были заимствованы нами изъ Мюнхенской лабораторіи технической физики (Dr. Poensgen, «Mitteilungen ѿber Forschungsarbeiten», Heft 130), методъ же измѣренія раз-

ностей температуръ при помощи термоэлементовъ былъ переработанъ въ цѣляхъ достижениія большей точности измѣреній и большей легкости регулированія количествъ вводимаго тепла и охлаждающей воды.

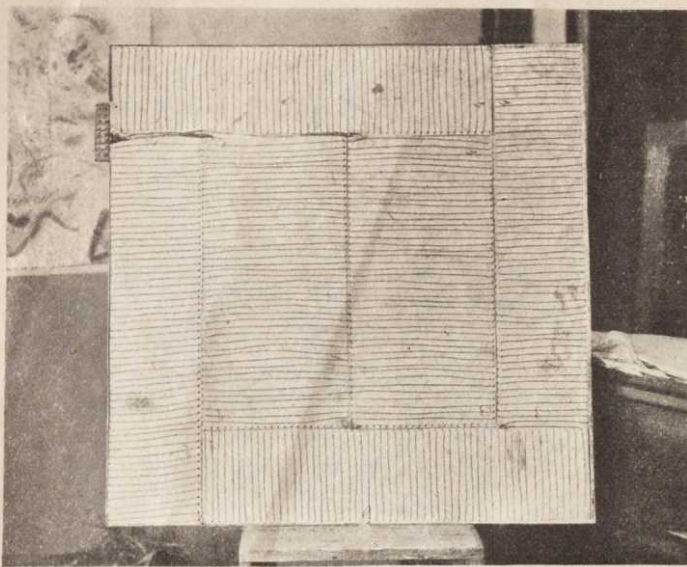
## Устройство прибора.

Мѣдная квадратная плита размѣромъ 750×750 мм (фиг. 1) нагрѣвалась изнутри электрическимъ токомъ такъ, что центральная ея часть, размѣромъ 460×460 мм., обогрѣвалась однимъ токомъ, а остальная часть, представляющая собой «защитное кольцо», другимъ. Сила тока въ «защитномъ кольцѣ» регулировалась такъ, чтобы центральная часть и края плиты нагрѣвались совершенно одинаково, и степень равномѣрности нагрѣва контролировалась цѣльмъ рядомъ термоэлементовъ, распределенныхъ по поверхности плиты.

Конструкцію нагрѣвающей плиты легко видѣть на фиг. 1, представляющей собой фотографическій снимокъ съ нея при снятомъ переднемъ листѣ мѣдной оболочки и удаленномъ листѣ асбестового картона, отдѣляющаго оболочку отъ никелевой проволоки, монтированной на листахъ клингерита.

На центральную часть нагрѣвающей плиты по обѣимъ сторонамъ ея накладывались пластины испытуемаго материала, а по боковымъ сторонамъ дѣлалось защитное кольцо изъ того же изоляціоннаго материала съ цѣлью избѣжать утечки тепла въ стороны и, такимъ образомъ, со-

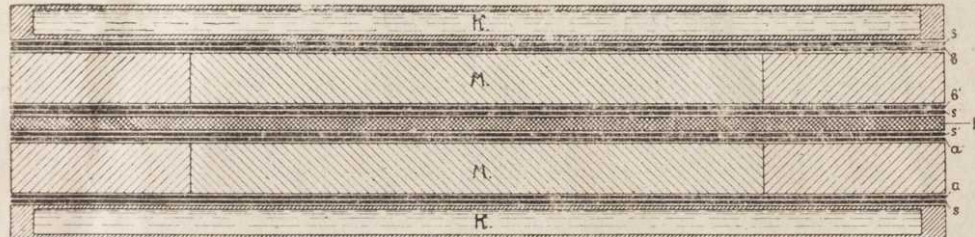
дать въ испытуемыхъ пластинахъ тепловой потокъ лишь по направлению, нормальному къ поверхности нагрѣвающей плиты. Между нагрѣвающей плитой и испытуе-



Фиг. 1. Нагрѣвающая плита.

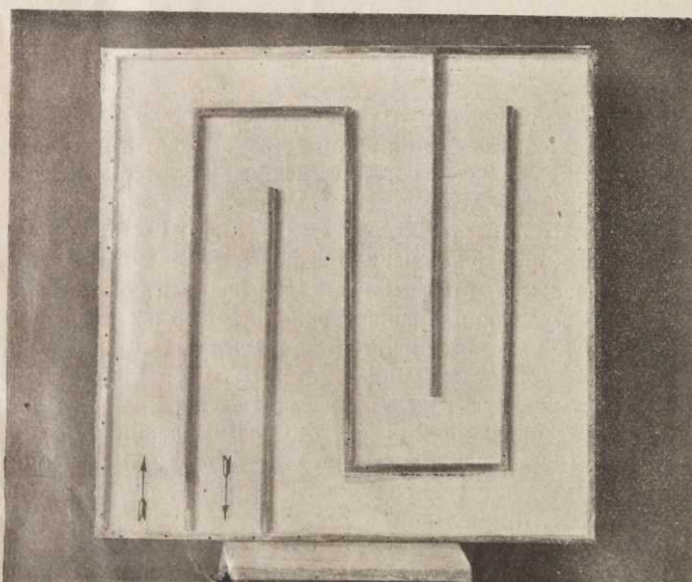
мымъ материаломъ (фиг. 2) прокладывались съ каждой стороны два листа клингерита толщиной 1 мм каждый,

### Расположение материала и термоэлементовъ въ станкѣ



Фиг. 2. Н—нагрѣвающая плита.  
s, s'—листы клингерита.  
a, b—листы клингерита съ термоэлементами.

ММ—испытуемый материалъ.  
a, b—листы клингерита съ термоэлементами.  
s, s—листы клингерита.  
К, К—холодные плиты.



Фиг. 3. Холодная плита.

первый имѣлъ цѣлью отдѣлить термоэлементы отъ со-прикосновенія съ мѣдной оболочкой нагрѣвающей пли-

ты, а на второмъ монтировались термоэлементы. Кон-трольные термоэлементы, имѣвшіе цѣлью установить рав-номѣрность температуры нагрѣвающей плиты по ея по-верхности, имѣли спаи обращенными въ сторону нагрѣвающей плиты, термоэлементы же, служившіе для опредѣленія температуры на поверхности испытуемаго материала, имѣли спаи термоэлементовъ обращенными въ сторону испытуемаго материала и непосредственно къ нему приле-gающими. Съ противоположныхъ сторонъ испытуемыя пластины и защитныя кольца изъ того же материала покрывались полыми желѣзными плитами, по которымъ циркулировала охлаждающая вода. Между холодными плитами и испытуемымъ материаломъ прокладывались листы клингерита; на листъ, прилегающемъ къ испытуемому материалу, монтировались термоэлементы, а второй листъ имѣлъ своей задачей лишь отдѣлить провода термоэлементовъ отъ соприкосновенія съ желѣзной стѣнкой охлаждающей плиты; спаи термоэлементовъ при этомъ непосредственно прилегали къ испытуемому материалу.

Устройство внутреннихъ перегородокъ въ холодной плитѣ можно видѣть изъ фиг. 3, представляющей счи-мокъ такой плиты при отнятой передней стѣнкѣ.

Измѣреніе количества тепла, вводимаго въ центральную часть нагрѣвающей плиты производилось при помо-щи амперметра  $A$  и вольтметра  $V$  (фиг. 4), при чемъ для грубаго регулированія служилъ реостатъ изъ экономиче-скихъ лампъ накаливанія, а для болѣе точнаго—реостатъ  $R_1$ . Для выравнивания неизбѣжныхъ колебаній напряже-

нія въ сѣть включены водородные реостаты  $N_n$  отъ лампъ Нернста. Учетъ электрической энергіи могъ производиться весьма точно, такъ какъ одно дѣленіе шкалы амперметра соотвѣтствовало 0,02 ампера, а одно дѣленіе шкалы вольтметра—0,1 вольта. Сила тока въ «защит-номъ кольцѣ» нагрѣвающей плиты, измѣрявшаяся при помо-щи болѣе грубаго ампер-метра  $A_k$ , регулировалась рео-статомъ  $R_2$  такъ, чтобы темпе-ратура на поверхности плиты въ ея центральной части и въ такъ называемомъ «защитномъ кольцѣ» была совершенно одинакова.

Въ виду того, что при испытаніяхъ «Морозина» въ нашемъ распоряженіи не оказалось достаточнаго коли-чества пластинъ каждого сорта, защитное кольцо для всѣхъ опытовъ съ «морозиномъ» было выполнено изъ пластины водоупорнаго «морозина» ( $\lambda=0,055$ ). Благода-ря этому обстоятельству, какъ видно въ дальнѣйшемъ изъ протоколовъ испытаній, для поддержанія ровной температуры на поверхности нагрѣвающей плиты въ ея центральной части и въ защитномъ кольцѣ, въ послѣд-немъ приходилось поддерживать токъ сравнительно боль-шей или меньшой силы въ зависимости отъ того, былъ ли коэффиціентъ теплопроводности материала защитнаго кольца больше или меньше, чѣмъ коэффиціентъ тепло-проводности испытуемыхъ пластинъ.

Количество охлаждающей воды, протекающей черезъ холодную плиту прибора, регулировалось такъ, чтобы разности температуръ по обѣимъ сторонамъ испытуе-мыхъ пластинъ, какъ на сторонѣ  $A$ , такъ и на сторо-нѣ  $B$  были совершенно одинаковы. При выполнении этого условия, а также при условіи, что поверхности центральной части нагрѣвающей плиты и нагрѣвающаго защитнаго кольца имѣютъ одинаковую температуру, все количество тепла, введенного въ центральную часть плиты

$$Q=0,856 \cdot V \cdot A, \\ \text{дѣлится поровну между двумя испытуемыми пластинами.}$$

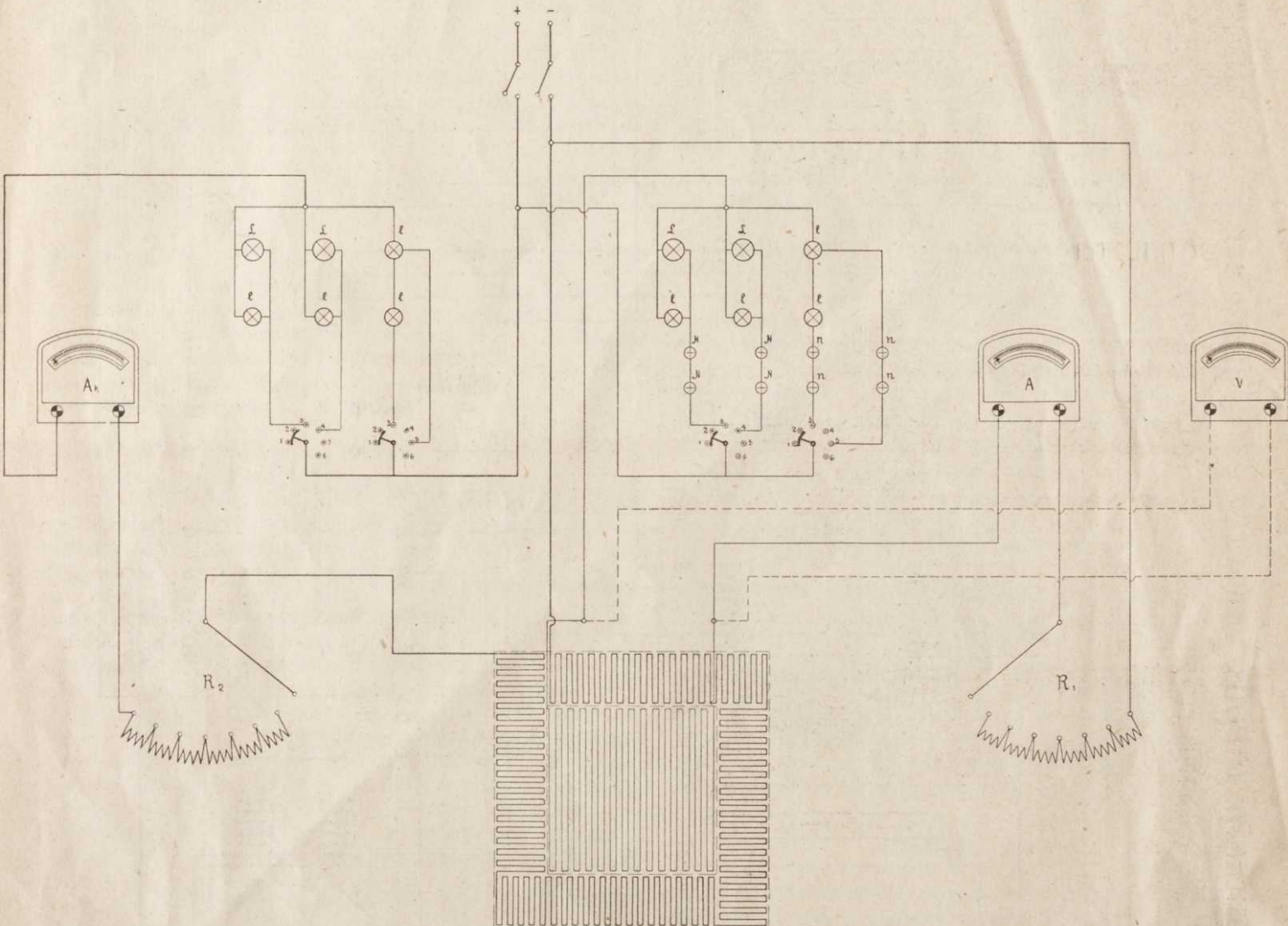
При пропусканиі черезъ нагрѣвающій приборъ тока опредѣленной силы и напряженія по обѣимъ сторонамъ испытуемыхъ пластинъ устанавливается опредѣленная разница температуръ, которая будетъ тѣмъ больше, чѣмъ менѣе теплопроводеніе испытуемый материалъ и чѣмъ больше его толщина. Промежутокъ времени, въ теченіе котораго наступаетъ установившееся тепловое состояніе и разность температуръ доходитъ до своей конечной величины, обычно весьма продолжителенъ и доходитъ до сутокъ и болѣе, въ зависимости отъ теплопроводности материала и его толщины.

Элементовъ шло около двухъ часовъ, такъ что продолжительность каждого опыта составляла въ среднемъ при благопріятныхъ условіяхъ около восьми часовъ.

Порядокъ расположения спаевъ основныхъ термоэлементовъ, служившихъ для определенія разностей температуръ, установившихся по обѣимъ сторонамъ испытуемыхъ пластинъ, а также порядокъ расположения спаевъ контрольныхъ термоэлементовъ, имѣвшихъ своей задачей отмѣтить неодинаковую степень нагрѣванія центральной части нагрѣвающаго прибора и его защитнаго кольца, ясно можно видѣть изъ фиг. 5, представляющей условную схему

## СХЕМА

### РАСПОЛОЖЕНИЯ ПРИБОРОВЪ ДЛЯ РЕГУЛИРОВАНІЯ И ИЗМѢРЕНІЯ КОЛИЧЕСТВА ВВОДИМАГО ТЕПЛА.



Фиг. 4

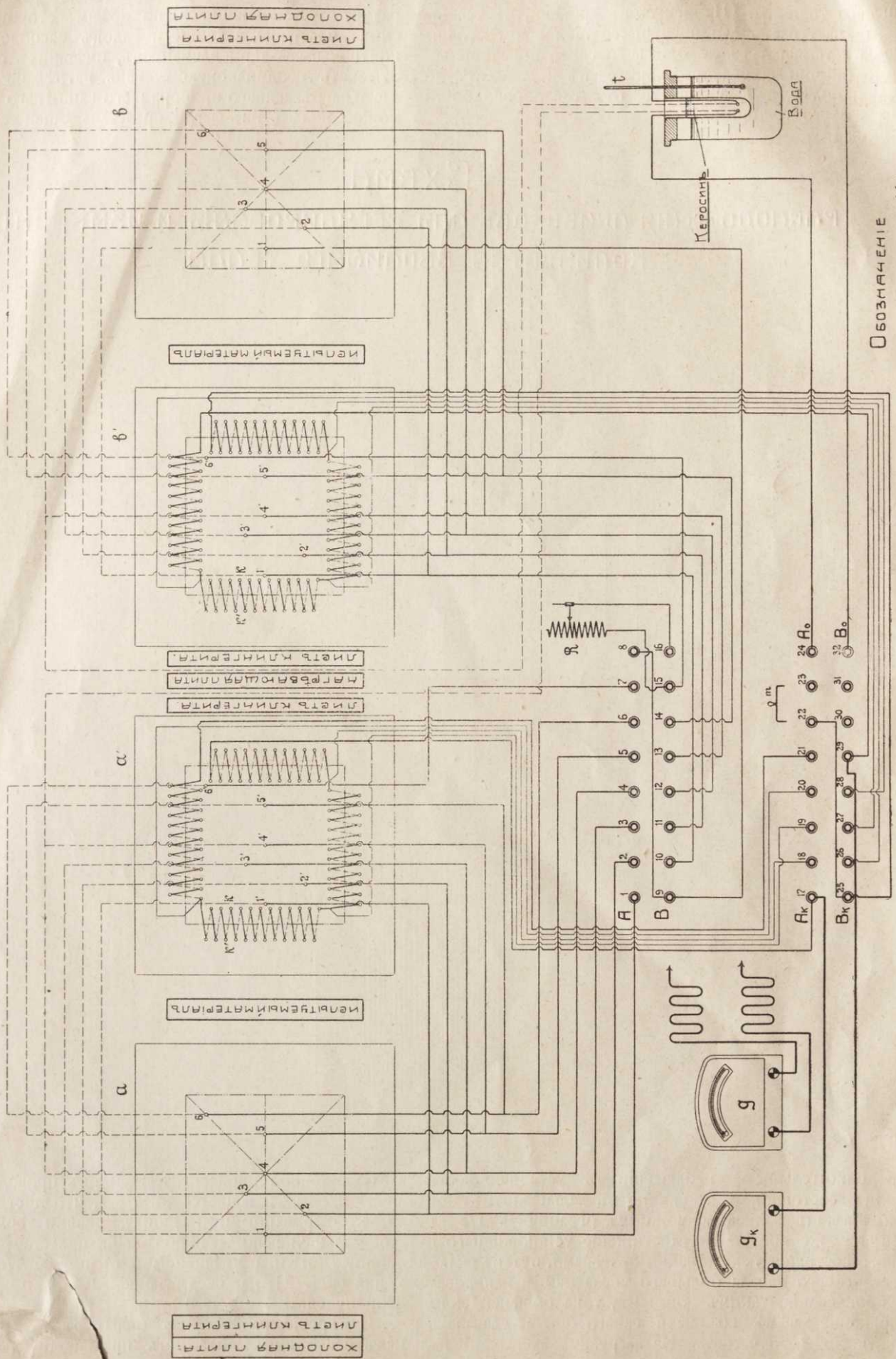
Продолжительность наблюденій въ установившемся тепловомъ состояніи, какъ видно въ дальнѣйшемъ изъ протоколовъ, оказалось возможнымъ ограничить 1/2—1 часа, затрачивая же времени на достиженіе установившагося теплового состоянія искусственными мѣрами, путемъ включенія съ самаго начала большаго числа лампъ накаливания и пропусканія, такимъ образомъ, тока большей силы и напряженія, чѣмъ во время самого опыта, удавалось понижать до 5-ти часовъ. На загрузку материаловъ въ станокъ и соединеніе каждый разъ между собою термо-

расположенія термоэлементовъ и ихъ проводовъ. Условность схемы заключается въ томъ, что листы клингерита съ монтированными на нихъ спаями термоэлементовъ для большей ясности изображенія представлены въ планѣ сдвинутыми и размѣщеными въ порядкѣ ихъ расположения (фиг. 2) на нагрѣвающей пласти по ту и другую сторону ея.

Измѣреніе разностей температуръ на обѣихъ сторонахъ испытуемыхъ пластинъ производилось, какъ видно изъ схемы, въ 6 пунктахъ при помощи спаевъ термоэле-

ментовъ 1-1', 2-2', 3-3', 4-4', 5-5', 6-6', называемыхъ основными. Каждый изъ этихъ термоэлементовъ (1-1', 2-2', 3-3', 4-4', 5-5', 6-6'), при помоши ртутнаго переключателя легко можетъ быть соединенъ съ гальванометромъ

метромъ порознь или, наоборотъ, всѣ или нѣсколько термоэлементовъ группами послѣдовательно. Присоединяя, напримѣръ, концы проводовъ гальванометра къ ртутнымъ клеммамъ 1-2 переключателя, мы отсчитываемъ



Фиг. 5.

## Схема

РАСПОЛОЖЕНИЯ ТЕРМОЭЛЕМЕНТОВЪ И ИХЪ СОЕДИНЕНИЙ СЪ ГАЛЬВАНОМЕТРАМИ  
ПРИ ПОМОЩИ РТУТНAGO ПЕРЕКЛЮЧАТЕЛЯ

по гальванометру разность температуръ по обѣимъ сторонамъ пластинъ въ пунктѣ 1; присоединяя тѣ же концы къ клеммамъ 1-4 переключателя, мы суммируемъ разность температуръ въ пунктахъ 1-2 и 3; присоединяя, наконецъ, тѣ же концы къ клеммамъ 1-7 переключателя, мы суммируемъ разность температуръ во всѣхъ 6 пунктахъ, а дѣля суммарное показаніе гальванометра на 6, получаемъ показаніе, соотвѣтствующее средней разности температуръ на сторонѣ A плиты; то же, въ виду полной симметричности прибора, относится и къ сторонѣ B.

Въ виду того, что клеммы 8-ая и 9-ая переключателя соединены между собою, можно, соединивъ при помощи вилки  $t$  клеммы 7-ую и 8-ую и присоединивъ концы проводовъ гальванометра къ клеммамъ 1 и 15 переключателя, просуммировать показанія всѣхъ 12-ти основныхъ термоэлементовъ (6 на сторонѣ A и 6 на сторонѣ B), соединенныхъ другъ съ другомъ послѣдовательно. Такъ какъ суммированіе показаній такого числа термоэлементовъ обычно выводило за предѣлы шкалы гальванометра, между клеммами 15-ой и 16-ой включался добавочный реостатъ  $R$ , сопротивленіе котораго при помощи подвижного контакта устанавливалось заранѣе такъ, чтобы для опредѣленія приблизительной средней разности температуръ, установившейся по обѣимъ сторонамъ испытуемыхъ пластинъ, достаточно было умножать показанія гальванометра на какой-либо удобный переводный множитель 0,1 или 0,2. Такимъ образомъ, соединяя между собой клеммы 7-ую и 8-ую и присоединяя концы проводовъ къ клеммамъ 1-ой и 16-ой (условное обозначеніе въ протоколахъ  $1 - \frac{7}{8} - 16$ ), можно было непосредственно по гальванометру, безъ всякаго подсчета, грубо отсчитывать интересующую насъ среднюю разницу температуръ, что представляло значительныя удобства для общей ориентировкы во время опытовъ. Для того чтобы сразу убѣдиться, что разности температуръ по обѣимъ сторонамъ испытуемыхъ пластинъ, какъ на сторонѣ A, такъ и на сторонѣ B, совершенно одинаковы, достаточно включить основные термоэлементы 1-1', 2-2', 3-3' 4-4', 5-5', 6-6' на сторонѣ B навстрѣчу тѣмъ же термоэлементамъ на сторонѣ A, т. е., соединивъ между собой вилкой  $t$  клеммы 7-ую и 15-ую, присоединить концы проводовъ гальванометра къ клеммамъ 1-ой и 9-ой (условно  $1 - \frac{7}{15} - 9$ ). Такъ какъ разность разностей температуръ по обѣимъ сторонамъ испытуемыхъ пластинъ на сторонахъ A и B должна быть, при правильномъ распределѣніи охлаждающей воды и полной однородности материала, равна нулю, то и стрѣлка гальванометра должна стать на нульѣ или только незначительно отъ него отклоняться.

Въ виду того, что при принятой схемѣ расположенія спаевъ термоэлементовъ непосредственно отсчитывалась разница температуръ  $t_1 - t_2$  по обѣимъ сторонамъ испытуемыхъ пластинъ, въ сущности отпала надобность въ устройствѣ начальныхъ спаевъ, погруженныхъ въ таѣшій ледъ. Лишь для опредѣленія той средней температуры  $\left(\frac{t_1 + t_2}{2}\right)$ , при которой совершался процессъ теплопередачи, явилась надобность опредѣлить абсолютное значеніе температуры испытуемаго материала на поверхности его, обращенной къ холодной плитѣ или, наоборотъ, на поверхности, обращенной къ нагрѣвающей плитѣ; тогда по одной изъ этихъ температуръ ( $t_1$  или  $t_2$ ) и опредѣленной уже разности температуръ  $t_1 - t_2$  по обѣимъ сторонамъ испытуемыхъ пластинъ нетрудно опредѣлить среднюю температуру  $\frac{t_1 + t_2}{2}$  материала во время испытанія.

За исходную начальную температуру  $t_0$  при опредѣленіи абсолютнаго значенія температуры на холодной и теплой поверхностяхъ испытуемыхъ пластинъ была принята температура помѣщенія, въ которомъ производилось испытаніе.

Присоединяя концы проводовъ гальванометра къ клеммамъ 24-й и 4-й и зная температуру помѣщенія, не трудно (см. ниже) опредѣлить по отклоненію гальванометра температуру холодной поверхности испытуемой пластины на сторонѣ A; присоединяя же концы къ клеммамъ 32-й и 12-й, находясь ту же температуру для стороны B. Пользуясь клеммами 24-й, 5-й, 32-й и 13-й можно точно также опредѣлить температуры теплыхъ поверхностей въ центрахъ пластинъ на сторонахъ A и B. Соединяя между собой вилкой  $t$  клеммы 24-ю и 32-ю и присоединяя концы проводовъ гальванометра къ клеммамъ 4-й и 12-й (условно 4—24/32—12), мы опредѣляемъ разность температуръ въ центрахъ холодныхъ поверхностей испытуемыхъ пластинъ на сторонахъ A и B, которая при правильной работѣ должна быть равна нулю, оставляя по прежнему соединенными клеммы 24-ю и 32-ю и присоединяя концы проводовъ гальванометра къ клеммамъ 5-й и 13-й (условно 5—24/32—13), мы измѣряемъ разность температуръ въ центрахъ теплыхъ поверхностей испытуемыхъ пластинъ на сторонахъ A и B, которая также должна быть равна нулю.

Спаи  $k$  контрольныхъ термоэлементовъ распределены по поверхности нагрѣвающей плиты такъ, что одна половина спаевъ этихъ термоэлементовъ расположена на центральной части нагрѣвающей плиты, а другая половина на части ея, называемой защитнымъ кольцомъ; такъ какъ на сторонахъ A и B имѣется по 48 контрольныхъ термоэлементовъ (96 спаевъ), соединенныхъ другъ съ другомъ послѣдовательно, то, при соединеніи вилкой  $t$  клеммъ 21-й и 22-й и присоединеніи концовъ проводовъ гальванометра  $G_k$  къ клеммамъ 17-й и 29-й (17—21/22—29), всѣ 96 термоэлементовъ, расположенные на сторонахъ A и B, оказываются включенными послѣдовательно и, благодаря этому, малѣйшая разность температуръ центральной части нагрѣвающей плиты и ея защитнаго кольца отсчитывалась по контрольному гальванометру  $G_k$  увеличенной въ 96 разъ. Сила тока въ защитномъ кольцѣ при помощи реостата  $R_2$  (фиг. 4) регулировалась такъ, чтобы стрѣлка гальванометра  $G_k$  (фиг. 5) въ теченіе опыта оставалась на нульѣ; при отклоненіи стрѣлки гальванометра въ ту или другую сторону одно дѣленіе шкалы гальванометра соотвѣтствовало  $\sim 0,006^{\circ}$  Ц.

Изъ приведенного описанія схемы расположения термоэлементовъ, такимъ образомъ, нетрудно усмотрѣть, что принятый способъ послѣдовательного соединенія между собой термоэлементовъ, какъ основныхъ, такъ и контрольныхъ, позволилъ отсчитывать интересующія насъ разницы температуръ со значительно большей степенью точности, такъ какъ при соединеніи послѣдовательно  $n$  термоэлементовъ, искомая разница температуръ отсчитывалась по гальванометру увеличенной въ  $n$  разъ.

#### Термоэлементы.

При изслѣдованіи теплопроводности материаловъ необходимы такие приборы, которые были бы настолько тонки, чтобы можно было пренебречь ихъ толщиной. Такимъ свойствомъ обладаютъ лишь термоэлементы и термометры сопротивленія: первые даютъ температуру въ одной точкѣ, а вторые, благодаря большому развитію въ ширину, даютъ среднюю температуру по плоскости. Казалось бы это даетъ преимущество передъ термоэлементами, но, съ одной стороны, невозможность имѣть вполнѣ однородную платиновую проволоку и дорогоизна послѣдней, а съ другой—невозможность использовать имѣвшіеся въ холодильной лабораторіи готовые термометры съ сопротивленіемъ, въ виду ихъ громоздкой конструкціи, заставили остановиться на термоэлементахъ; къ тому же въ Лабораторіи Паровыхъ Котловъ имѣлся очень хороший материалъ для изготавленія термоэлемент-

товъ, а именно: константановыя и мѣдная проволоки, специально для этой цѣли доставленныя еще до войны фирмой Hartman & Braun.

Въ виду большой точности предстоявшей работы нельзя было ни базироваться на литературныхъ данныхъ, ни пользоваться опытами, произведенными ранѣе въ Лабораторіи Паровыхъ Котловъ съ другими предѣлами температуръ, а пришлось выяснить однородность проволокъ въ термоэлектрическомъ отношеніи и затѣмъ проградуировать ихъ по имѣющемуся гальванометру.

Определеніе однородности проволокъ, какъ константановой, такъ и мѣдной изолированной и не изолированной производилось слѣдующимъ образомъ: двѣ испытуемыя проволоки скручивались и припаивались, затѣмъ концы присоединялись къ гальванометру Сименсъ и Гальске (сопротивление 74,80мъ, дѣленіе шкалы  $2,68 \cdot 10^{-7}$  амп.), а спай помѣщался въ горѣлку Меккера и нагревался до температуры  $600^{\circ}$  Ц., при чемъ не было отклоненія стрѣлки болѣе  $0,1 - 0,2$  дѣленія гальванометра.

Такъ какъ работать приходилось съ разностями температуръ не болѣе нѣсколькихъ десятковъ градусовъ, то указанная неоднородность не могла имѣть абсолютно никакого вліянія на отсчетъ по гальванометру; въ виду этого, всѣ проволоки были признаны совершенно однородными и оказалось возможнымъ перейти къ градуированію термопаръ, которое необходимо было произвести между предѣлами  $+30^{\circ}$  и  $-20^{\circ}$  Ц. Предыдущими опытами въ Лабораторіи Паровыхъ Котловъ было установлено, что термоэлектрическая способность, т. е. первая производная отъ электродвижущей силы по температурѣ измѣняется въ узкихъ предѣлахъ температуръ по очень пологой кривой, которую съ большимъ приближеніемъ можно замѣнить прямой. Въ виду этого и средняя термоэлектрическая способность между температурами  $0^{\circ}$  и  $t^{\circ}$  выражается тоже прямой, но съ инымъ наклономъ къ оси абсциссъ.

Если обозначимъ среднюю термоэлектрическую способность въ предѣлахъ отъ нуля до  $t$  черезъ

$$\left[ \frac{dE}{dt} \right]_0^t = \varphi_{\text{ср}}^t = a + bt,$$

то нетрудно показать, что термоэлектрическая способность въ предѣлахъ  $t_1$  и  $t_2$  напишется

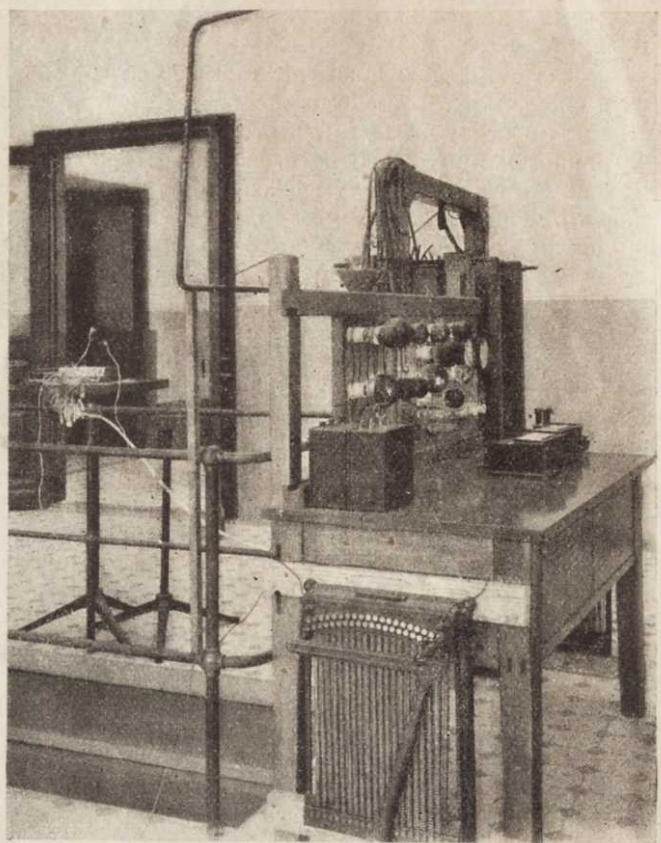
$$\varphi_{\text{ср}}^t = a + b(t_1 + t_2)$$

Для определенія термоэлектрической способности необходимо было точно измѣрять температуры и электровозбудительные силы. Для этой цѣли были взяты двѣ банки отъ аккумуляторной батареи и въ нихъ помѣщены глубокіе стеклянные стаканчики съ керосиномъ (общее расположение показано на фиг. 7), а въ керосинѣ были опущены спаи термоэлементовъ, соединенныхъ послѣдовательно и изолированныхъ одинъ отъ другого тонкими стеклянными трубочками. Для полученія ровной температуры по всей массѣ воды и керосина перемѣшиваніе производилось при помощи пузырьковъ воздуха, нагнетаемаго особымъ аппаратомъ.

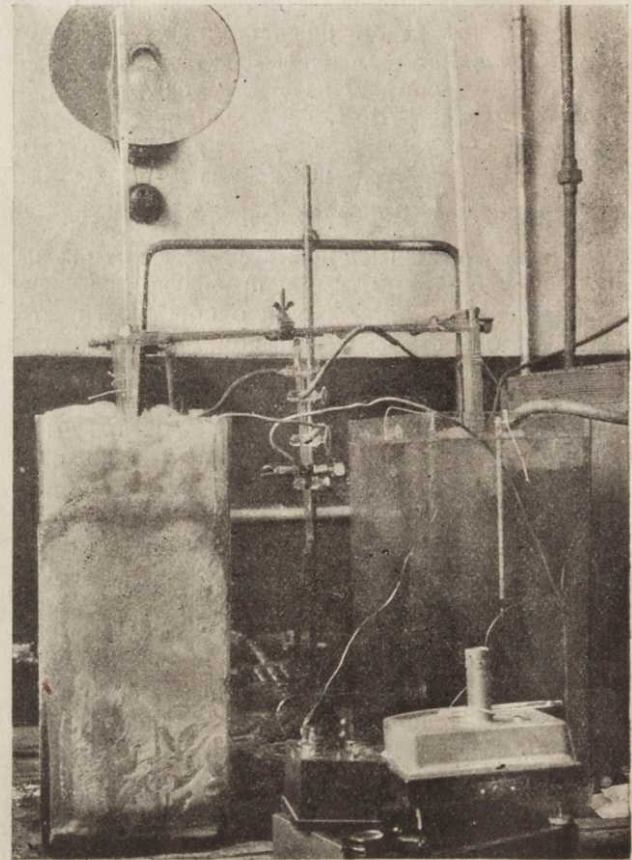
Въ тѣхъ случаяхъ, когда необходима была температура ниже нуля, послѣдняя достигалась при помощи смѣси льда съ солью. На фиг. 7 и показанъ такой случай, при чемъ вся вѣнчальная поверхность лѣваго сосуда покрылась снѣгомъ.

Наблюденіе температуръ велось по двумъ термометрамъ, разделеннымъ на  $0,1^{\circ}$  (отсчеты производились въ лупу съ точностью до  $0,01^{\circ}$ ), при чемъ одинъ изъ нихъ имѣлъ свидѣтельство нѣмецкой палаты мѣръ и вѣсовъ, а второй пришлось предварительно повѣрить по первому (фиг. 8). Точка нуля повѣрялась по таянию измельченного льда, полученнаго изъ дистиллированной воды, и при послѣдующихъ вычисленияхъ всѣ эти поправки были

приняты во вниманіе (поправки свидѣтельства, поправки отъ сравненія термометровъ, поправки выступающаго столбика).



Фиг. 6.



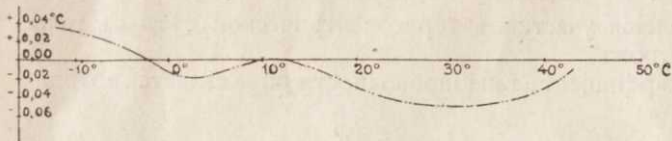
Фиг. 7.

Электровозбудительная сила измѣрялась при помощи гальванометра, постоянная которого была определена Электротехнической Лабораторіей Императорскаго Тех-

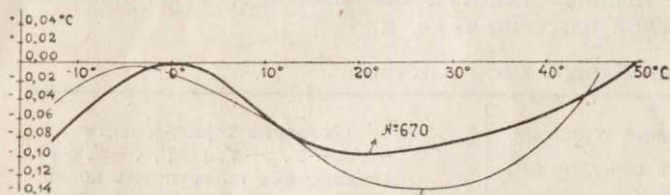
ническаго Училища, съ добавочнымъ сопротивлениемъ Siemens & Halske, также провереннымъ той же Лабораторией.

### ПОВЪРКА ТЕРМОМЕТРОВЪ

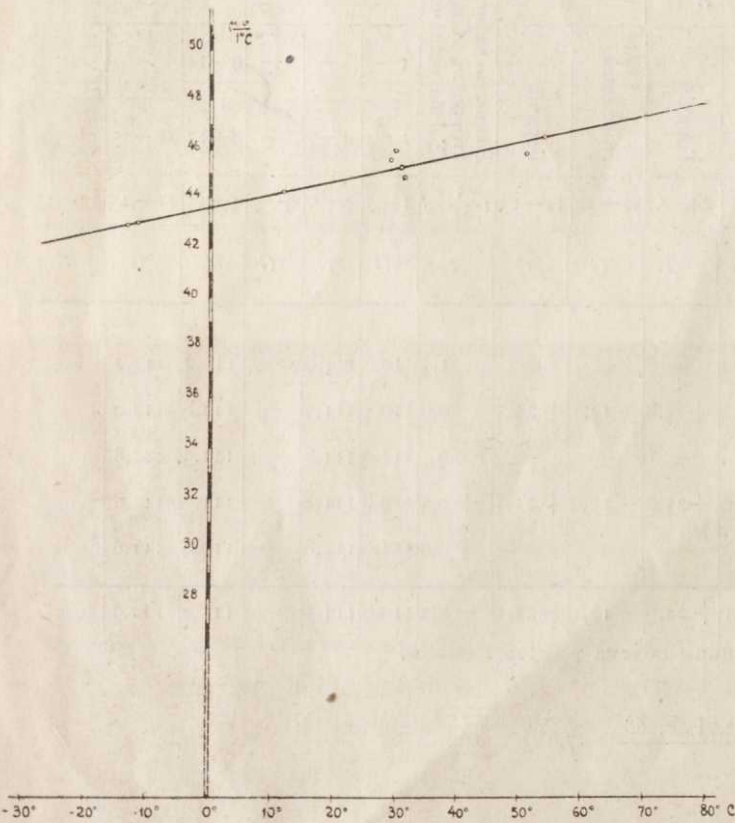
ПОПРАВКИ ТЕРМОМЕТРА № 669 ПО № 670.



ПОПРАВКИ ТЕРМОМЕТРОВЪ № 669 и 670 ПО ГАЗОВОМУ ТЕРМОМЕТРУ



Фиг. 8.



Фиг. 9 Зависимость термоэлектрической способности от температуры.

Результаты градуированія термоэлементовъ нанесены на диаграммѣ фиг. 9, при чмъ при оцѣнкѣ величины ошибокъ слѣдуетъ обратить вниманіе на то, что ось абсциссъ значительно смѣщена вверхъ.

#### Формулы для подсчета.

Если испытаніе материала производится между температурами  $t_1$  и  $t_2$ , то термоэлектрическая способность  $\mu$  выражается, какъ уже сказано выше, уравненіемъ

$$\mu = 43,6 + 0,051 \cdot (t_1 + t_2).$$

Пользуясь для опредѣленія температуръ  $t_1$  и  $t_2$  показаніями центральныхъ термоэлементовъ съ начальными спаями ( $A_0$ ,  $B_0$ —холодные,  $A'_0$ ,  $B'_0$ —горячіе), имѣемъ

$$t_1 = t_0 + \frac{A_0' + B_0'}{2} \cdot \frac{81,5 \cdot 0,268}{\mu_1},$$

$$t_2 = t_0 + \frac{A_0 + B_0}{2} \cdot \frac{81,5 \cdot 0,268}{\mu_2} \text{ и}$$

$$t_1 + t_2 = 2t_0 + \frac{81,5 \cdot 0,268}{2} \cdot \left[ \frac{A_0' + B_0'}{\mu_1} + \frac{A_0 + B_0}{\mu_2} \right].$$

Принимая предварительно

$$\mu_1 = \mu_2 = 45,6 \mu v^0 \text{ Ц.,}$$

имѣемъ

$$t_1 + t_2 = 2t_0 + 0,24 \cdot [A_0 + A'_0 + B_0 + B'_0].$$

Подставляя выраженіе  $t_1 + t_2$  въ уравненіе  $\mu$ , имѣемъ

$$\mu = 43,6 + 0,102 \cdot t_0 + 1,22 \cdot \left[ \frac{A_0 + A'_0 + B_0 + B'_0}{100} \right]. \quad (1)$$

#### Сопротивленія въ сѣти термоэлементовъ.

	Схема включения.	Сопротивление въ омахъ безъ гальванометра.	Сопротивление въ омахъ, включая сопротивленіе гальванометра.
1	6 основныхъ термоэлементовъ 1—1', 2—2', 3—3', 4—4', 5—5', 6—6' на сторонахъ $A$ включены послѣдовательно (1—7) . . . . .	14,0	89,8
2	Тоже на сторонахъ $B$ (9—15) . . . . .	13,9	89,7
3	Всѣ 12 основныхъ термоэлементовъ на сторонахъ $A$ и $B$ включены послѣдовательно (1— $\frac{7}{8}$ —15) . . . . .	27,8	103,6
4	Основные термоэлементы 1—1', 2—2', 3—3' на сторонахъ $A$ включены послѣдовательно (1—4) . . . . .	7,4	83,2
5	Основные термоэлементы 4—4', 5—5', 6—6' на сторонахъ $A$ включены послѣдовательно (4—7) . . . . .	6,8	82,6
6	Основные термоэлементы 1—1', 2—2', 3—3' на сторонахъ $B$ включены послѣдовательно (9—12) . . . . .	7,4	83,2
7	Основные термоэлементы 4—4', 5—5', 6—6' на сторонахъ $B$ включены послѣдовательно (12—15) . . . . .	6,9	82,7
8	Центральный термоэлементъ на сторонѣ $A$ (холодн.) съ начальнымъ спаемъ (24—4) . . . . .	5,7	81,5
9	Центральный термоэлементъ на сторонѣ $A$ (горячій) съ начальнымъ спаемъ (24—5) . . . . .	5,7	81,5
10	Центральный термоэлементъ на сторонѣ $B$ (холодн.) съ начальнымъ спаемъ (32—12) . . . . .	5,5	81,3
11	Центральный, термоэлементъ на сторонѣ $B$ (горячій) съ начальнымъ спаемъ (32—13) . . . . .	5,5	81,3
12	Контрольные термоэлементы на сторонахъ $A$ и $B$ включены послѣдовательно (17— $\frac{21}{22}$ —29) . . . . .	19,6	95,4
13	Контрольные термоэлементы на сторонѣ $A$ включены послѣдовательно (17—21) . . . . .	9,9	85,7
14	Контрольные термоэлементы на сторонѣ $B$ включены послѣдовательно (25—29) . . . . .	9,9	85,7

Въ виду того, что температура охлаждающей воды обычно ниже температуры помѣщенія и члены  $A_0$  и  $A'_0$ , съ одной стороны, и  $B_0$  и  $B'_0$ , съ другой, имѣютъ противоположные знаки, послѣдній членъ въ уравненіи (1) обычно очень малъ; небольшія отклоненія  $\mu_1$  и  $\mu_2$  въ ту и другую сторону отъ принятаго средняго значенія  $45,6 \mu v^0 \text{ Ц.}$  почти совершенно не отражаются на конечномъ результатѣ, и подсчетъ  $\mu$  по формулѣ (1) оказался въ достаточной мѣрѣ точнымъ для всѣхъ опытовъ. Въ опытахъ № 1 и № 2 съ толстыми пробковыми пластинаами  $\mu_1$  и  $\mu_2$  отличались другъ отъ друга болѣе значительно, чмъ въ другихъ опытахъ, и, кромѣ того, среднее ихъ значеніе было нѣсколько выше принятаго въ предварительномъ подсчетѣ. Въ опытахъ № 10—12 съ «шевелиномъ», въ виду малой его толщины, значенія

$\mu_1$  и  $\mu_2$  незначительно отличались другъ отъ друга, но, благодаря значительно болѣе холодной водѣ, среднее ихъ значеніе, наоборотъ, было ниже принятаго въ предварительномъ подсчетѣ. Дѣля для этихъ опытовъ повторный болѣе точный подсчетъ, задаваясь новыми значениями  $\mu_1$  и  $\mu_2$ , нетрудно найти точное значеніе  $\mu$ , которое отличается отъ приближенного, вычисленного по формулѣ (1), всего на  $\pm 0,02 \text{ } \mu\text{v}^{\circ}\text{Ц}$ , т. е. на величину, лежащую за предѣломъ точности нашихъ наблюдений.

Опредѣливъ, такимъ образомъ, по формулѣ (1) величину  $\mu$ , находимъ среднюю разницу температуръ по обѣимъ сторонамъ испытуемыхъ пластинъ  $t_1 - t_2$ :

$$t_1 - t_2 = \frac{89,75 \cdot 0,268}{12} \cdot \left[ \frac{A_{1-7} + B_{9-15}}{\mu} \right] = \\ = 2,00 \cdot \left[ \frac{A_{1-7} + B_{9-15}}{\mu} \right] \quad . . . . (2)$$

Протоколъ № 1. Испытаніе негудронированной пробковой пластины.

Годъ мѣсяцъ и чи сл.	Основные термоэлементы (1-6)	Добавочное со- противление. R Градусы гальвано- метра	$t_1 - t_2 = \frac{R+104}{0,51n} - \frac{100}{1000}$	Прибл. средн. разница темпер.	Контрольные термоэлементы		Электрический токъ		$Q = 0,428 \cdot V \cdot A$	Количество тепла на одну пластину	Температура охлаждающей воды $t_w$	Температура начальныхъ спаевъ $t_0$	Центральные термоэлементы съ начальными спаевами		Разность разностей темпер. на сторонахъ A и B ( $\Sigma A$ на встречу $\Sigma B$ )	Основные термоэлементы 1-1', 2-2', 3-3', 4-4', 5-5', 6-6' соединенные по группамъ послѣдовательно.				
					Средн. разн. темпер. на поверхн. защит. колп. и цент. части нагрѣв. плиты $\Delta t$	Задиное колп. ю	Амперы	Амперы					Холодный	Горячий		Холодный	Горячий			
19 VI 15 1-7/8-16													24-4	24-5	32-12	32-13	1-7 15-9	I-3 3-5 5-7 9-11 11-13 13-15		
Часы	$\Omega$	$^{\circ}\text{Ц}$	$^{\circ}\text{П.}$	$^{\circ}\text{G}_k$	$^{\circ}\text{П}$	$A_k$	$A$	$V$	калор. часъ	$^{\circ}\text{П}$	$^{\circ}\text{П}$	$^{\circ}\text{G}$	$^{\circ}\text{G}$	$^{\circ}\text{G}$	$^{\circ}\text{G}$	$^{\circ}\text{G}$	$^{\circ}\text{G}$	$^{\circ}\text{G}$	$^{\circ}\text{G}$	
6,00 в.	290	92,4	—	0,0	—	1,49	1,12	5,90	—	16,9	24,0	—	—	—	—	—	1,5 110,8 111,0	—	112,2 112,2	—
6,15 в.	"	92,4	—	0,0	—	1,49	1,12	5,90	—	16,9	24,0	-12,2	+24,8	-12,1	+25,2	-0,9 110,5 111,3	—	111,8 112,0	—	
6,30 в.	h	92,2	—	0,0	—	1,49	1,12	5,90	—	17,0	23,9	—	—	—	—	0,0 111,0 111,8	—	111,3 111,8	—	
6,45 в.	*	92,1	—	0,0	—	1,49	1,12	5,90	—	17,0	23,8	-12,0	+25,0	-12,0	+25,3	+0,5 110,8 111,8	—	111,0 111,8	—	
7,00 в.	*	92,0	—	0,0	—	1,49	1,12	5,90	—	17,0	23,8	—	—	—	—	+0,8 111,0 111,8	—	110,8 111,6	—	
Ср.вел.	290	92,2	~18,4	0,0	0,0	1,49	1,12	5,90	2,83	17,0	23,9	-12,1	+24,9	-12,1	+25,2	-0,2 110,8 111,5	—	111,4 111,9	—	

Примѣчанія. Толщина испытуемаго материала  $\delta = 50$  мм Вѣсъ единицы объема  $\gamma = 128$  кг/кб. м.

$$\mu = 43,6 + 0,102 \cdot 23,9 + 1,22 \left| \frac{50,1 - 24,2}{100} \right| = 46,4 \text{ } \mu\text{v}^{\circ}\text{Ц}.$$

$$t_1 - t_2 = \frac{[110,8 \cdot 83,2 + 111,5 \cdot 82,6 + 111,4 \cdot 83,2 + 111,9 \cdot 82,7] \cdot 0,268}{12 \cdot 46,4} = 17,8 \text{ } ^{\circ}\text{Ц}.$$

$$\lambda = \frac{2,83 \cdot 0,050}{17,8 \cdot 0,211} = 0,038 \text{ кал./час./кв. м.}/^{\circ}\text{Ц}.$$

19 VI 15  
Протоколъ № 2. Испытаніе негудронированной пробковой пластины.

1,30 д.	290	119,3	—	-1,0	—	1,50	1,11	5,85	—	14,5	19,4	-9,3	+39,8	-8,8	+40,6	+1,0 97,1	98,8 102,5	97,8	99,0	100,0
2,00 д.	"	119,3	—	-1,0	—	1,50	1,11	5,85	—	14,7	19,7	—	—	—	—	-0,4 97,0	98,5 101,8	98,0	99,3	100,0
2,30 д.	"	119,3	—	-1,0	—	1,50	1,11	5,85	—	14,7	19,8	-9,5	+39,2	-9,0	+40,0	-0,5 96,9	98,4 101,6	98,0	99,1	100,0
3,00 д.	"	119,3	—	0,0	—	1,50	1,12	5,90	—	14,8	19,9	—	—	—	—	-0,2 97,0	98,3 101,7	98,0	99,2	100,0
Ср.вел.	290	119,3	~23,8	-0,8	0,005	1,50	1,11	5,86	2,78	14,7	19,7	-9,4	+39,5	-8,9	+40,3	0,0 97,0	98,5 101,9	98,0	99,2	100,0

Примѣчанія. Толщина испытуемаго материала  $\delta = 81$  мм Вѣсъ единицы объема  $\gamma = 150$  кг/метр.<sup>3</sup>.

$$\mu = 43,6 + 0,102 \cdot 19,7 + 1,22 \left| \frac{79,8 - 18,3}{100} \right| = 46,3 \text{ } \mu\text{v}^{\circ}\text{Ц}.$$

$$97,0 \cdot 80,7 + 98,5 \cdot 80,6 + 101,9 \cdot 80,4 + 98,0 \cdot 80,7 + 99,2 \cdot 80,6 + 100,0 \cdot 80,4 = 47900 \text{ } \mu\text{v}.$$

$$t_1 - t_2 = \frac{47900 \cdot 0,268}{12 \cdot 46,3} = 23,1 \text{ } ^{\circ}\text{Ц};$$

$$\lambda = \frac{2,78 \cdot 0,081}{23,1 \cdot 0,211} = 0,046 \text{ кал/час./кв. м.}/^{\circ}\text{Ц}.$$

Если шкала гальванометра не позволяла включать послѣдовательно всѣ 6 термоэлементовъ, то послѣдніе разбивались на группы по 3 или по 2 термоэлемента въ каждой, и тогда

$$t_1 - t_2 = \frac{0,268}{12 \cdot \mu} \cdot [\Sigma A R_a + \Sigma B \cdot R_b], \quad . . . (3)$$

гдѣ  $A$  и  $B$ —показанія гальванометра, а  $R_a$  и  $R_b$  — сопротивленія участковъ термоэлектрической сѣти съ гальванометромъ.

Коэффициентъ теплопроводности опредѣляется по формулѣ:

$$\lambda = \frac{Q}{2} \cdot \frac{\delta}{(t_1 - t_2) \cdot F} \quad . . . . (4)$$

гдѣ  $\delta$ —толщина испытуемыхъ пластинъ, а  $F$ —площадь испытуемой пластины въ кв. м.

### Протокол № 3. Испытание негудронированной пробковой пластины.

Годъ, мѣсяцъ и число.	Основ- ные термо- эле- менты (1—6)	Добавочное со- противление R Градусы гальвано- метра.	$t_1 - t_2 = 0,5 t_1$	R + 104 1000	Прибл. средн. разница темпер.	Контроль- ные термоэле- менты	Электрический токъ	Центральные термоэле- менты съ начальными спаями	Основные термоэлементы 1—1', 2—2', 3—3', 4—4', 5—5', 6—6' соединенные по группамъ послѣ- довательно														
										Показанія контрольного гальванометра.	Средн. разн. темпер. на по- верхн. запит. колбы и центр части нагрѣв. плиты $\Delta t$	Амперы	Защитное кольцо	Амперы	Центральная часть.	Волты	Количество тепла на одну пластину	Сторона A	Сторона B	Сторона A	Сторона B		
19 VI 15	4	1—7/8—16	$t_1 - t_2 = 0,5 t_1$	104																			
Часы	$\Omega$	$^{\circ}G$	$^{\circ}\Pi$	$^{\circ}G_k$	$^{\circ}\Pi_k$	$A_k$	$A$	$V$	калор. часъ	$^{\circ}\Pi$	$^{\circ}\Pi$	$^{\circ}G$	$^{\circ}G$	$^{\circ}G$	$^{\circ}G$	$^{\circ}G$	$^{\circ}G$	$^{\circ}G$	$^{\circ}G$	$^{\circ}G$	$^{\circ}G$	$^{\circ}G$	
5,15 в.	92	80,0	—	+1,0	—	1,75	1,48 (74,0)	7,24 (72,4)	—	14,5	18,5	—	—	—	—	—	1,9	88,7	—	—	90,8	—	—
5,30 в.	"	79,6	—	+1,0	—	1,75	1,48 (74,0)	7,23 (72,3)	—	14,5	18,4	—	5,9	+ 10,6	—	—	1,5	88,6	—	—	90,5	—	—
5,45 в.	"	79,5	—	+1,0	—	1,75	1,48 (74,0)	7,23 (72,3)	—	14,4	18,4	—	—	—	—	—	1,0	88,9	—	—	90,0	—	—
6,00 в.	"	79,9	—	+1,0	—	1,75	1,48 (74,0)	7,23 (72,3)	—	14,3	18,4	—	6,0	+ 10,6	—	—	0,6	89,5	—	—	90,4	—	—
6,15 в.	"	79,9	—	+2,0	—	1,75	1,48 (73,8)	7,21 (72,1)	—	14,3	18,4	—	—	—	—	—	1,0	89,3	—	—	90,3	—	—
Ср.вкл.	92	79,8	80,0	+1,2	0,007	1,75	1,48	7,23	4,58	14,4	18,4	—	6,0	+ 10,6	—	—	1,2	89,0	—	—	90,4	—	—

Примѣчанія. Толщина испытуемаго материала  $\delta = 14,9$  мм.

Весь единицы объема  $\gamma = 177$  кг/кб. м.

$$\mu = 43,6 + 0,102 \cdot 18,4 + 1,22 \left| \frac{21,2 - 12,1}{100} \right| = 45,6 \text{ } \mu\text{v}^{/\text{oII}}.$$

$$t_1 - t_2 = 2,00 \quad \frac{89,0 + 90,4}{45,6} = 7,88 \text{ °Ц.} \quad \lambda = \frac{4,58 \cdot 0,0149}{7,88 \cdot 0,211} = 0,041 \text{ кал/часть/кв. м./°Ц.}$$

19 VI 15

Протокол № 4. Испытание водоупорного «Морозина», вторично пропитанного растворомъ.

3,45 д.	92	96,5	—	0,0	—	1,74	1,46 (73,1)	7,25 (72,5)	—	16,5	24,6	— 14,8	+ 4,8	— 14,5	+ 4,9	0,0	57,3	57,5	—	56,5	58,5	—
4,15 д.	*	96,5	—	0,0	—	1,74	1,46 (73,0)	7,24 (72,4)	—	16,4	24,6	—	—	—	—	+ 1,0	57,3	57,8	—	56,1	58,0	—
4,45 д.	*	96,0	—	0,0	—	1,73	1,46 (72,9)	7,23 (72,3)	—	16,3	24,5	— 14,8	+ 4,8	— 14,2	+ 5,0	+ 1,4	57,2	57,5	—	55,8	57,5	—
Ср.вел.	92	96,3	≈ 9,6	0,0	0,0	1,74	1,46	7,24	4,52	16,4	24,6	— 14,8	+ 4,8	— 14,3	+ 5,0	+ 0,8	57,3	57,6	—	56,1	58,0	—

*Примѣчанія.* Толщина испытуемаго материала  $\delta = 22.5$  мм.

Весь единицы объема  $\gamma \equiv 309$  кг/кб. м.

$$\mu = 43,6 + 0,102 \cdot 24,6 + 1,22 = 45,9 \text{ } \mu\text{v}^{\circ}\text{II.}$$

$$t_1 - t_2 = \frac{[57,3 \cdot 83,2 + 57,6 \cdot 82,6 + 56,1 \cdot 83,2 + 58,0 \cdot 82,7] 0,268}{12 \cdot 45,9} = 9,23^{\circ}\text{II.}$$

$$\lambda = \frac{4,52 \cdot 0,0225}{9,23 \cdot 0,211} = 0,052 \text{ кал./часъ/кв. м.}^{\circ}\text{Ц.}$$

19<sup>28</sup>  
V 15

## **Протоколъ № 5. Испытаніе «Морозина» чистой костры.**

5,30 в.	92	99,0	—	0,0	—	1,81	1,56 (78,2)	7,78 (77,8)	—	13,8	18,3	—	—	—	—	0,2	109,2	—	—	109,5	—	—
5,45 в.	"	99,0	—	0,0	—	1,81	1,56 (78,2)	7,77 (77,7)	—	13,8	18,2	—	—	—	—	0,0	109,2	—	—	109,4	—	—
6,00 в.	"	99,0	—	0,0	—	1,81	1,58 (78,9)	7,81 (78,1)	—	13,8	18,2	—6,2	+ 13,9	—6,8	+ 13,2	0,0	109,2	—	—	109,3	—	—
Ср.вкл.	92	99,0	≈ 9,9	0,0	0,0	1,81	1,57	7,79	5,23	13,8	18,2	—6,2	+ 13,9	—6,8	+ 13,2	—0,1	109,2	—	—	109,4	—	—

Примѣчанія. Толщина испытуемаго матеріала  $\delta = 21$  мм.

Весь единицы объема  $\gamma = 315$  кг./кб. м.

$$\mu = 43,6 +_{0,102} \cdot 18,2 +_{1,22} \left| \frac{27,1 - 13,0}{100} \right| = 45,6 \text{ } \mu\text{v}/^{\circ}\text{C}.$$

$$t_1 - t_2 = 2,00 \cdot \frac{109,2 + 109,4}{45,6} = 9,59 \text{ °II.}$$

$$\lambda = \frac{5,23 \cdot 0,021}{9,59 \cdot 0,211} = 0,054 \text{ кал./часъ/кв.м.}^{\circ}\text{Ц.}$$

## Протокол № 6. Испытание «Морозина» водоупорного.

Годъ, мѣсяцъ и число.	Основ- ные термо- эле- менты (1-6)	Дополночное со- противление R Градусы гальвано- метра.	R+104 1000 $t_1-t_2=0,51$	Прибл. средн. разница темпер.	Контроль- ные термоэле- менты		Электрический токъ		Центральные термоэле- менты съ начальными спаями		Основные термоэлементы 1—1', 2—2', 3—3', 4—4', 5—5', 6—6' соединенные по группамъ послѣ- довательно											
					Показанія контрольного гальванометра.		Средн. разн. темпер. на по- верхн. защит. кольца и центр части нагрѣв. плиты $\Delta t$		Запитное кольцо		Сторона A											
					Амперы	Амперы	Вольты	Вольты	Амперы	Амперы	Вольты	Вольты										
19 V 15	26	1-7/s-16	$t_1-t_2=0,51$	R+104 1000	Показанія контрольного гальванометра.	Средн. разн. темпер. на по- верхн. защит. кольца и центр части нагрѣв. плиты $\Delta t$	$Q = 0,428 \cdot V \cdot A$	Количество тепла на один пластину	Сторона A	Сторона B	Сторона A	Сторона B										
									Холодный	Горячий	Холодный	Горячий										
									Разность разностей темпер на сторонахъ A и B ( $\Sigma A$ на встрѣчу $\Sigma B$ )													
									I-7	—	9-15	—										
									I-4	4-7	9-12	12-15										
									I-3	3-5	5-7	9-11										
									11-13	13-15												
Часы	$\Omega$	$^{\circ}G$	$^{\circ}\Pi$	$^{\circ}G_k$	$^{\circ}\Pi$	$A_k$	$A$	$V$	калор. часъ	$^{\circ}\Pi$	$^{\circ}\Pi$	$^{\circ}G$	$^{\circ}G$	$^{\circ}G$	$^{\circ}G$	$^{\circ}G$	$^{\circ}G$	$^{\circ}G$	$^{\circ}G$	$^{\circ}G$	$^{\circ}G$	
5,15 в.	92	93,0	—	+2,0	—	1,79	1,56	7,63 (78,2) (76,3)	—	12,9	19,3	-9,2	+9,9	-10,2	+9,2	+1,2	108,2	—	—	106,8	—	—
5,25 в.	"	92,5	—	+1,0	—	1,79	1,57	7,70 (78,7) (77,0)	—	12,9	19,3	—	—	—	—	+0,8	107,8	—	—	106,2	—	—
5,35 в.	"	92,4	—	0,0	—	1,78	1,56	7,66 (78,2) (76,6)	—	12,9	19,2	—	—	—	—	+0,2	107,3	—	—	106,6	—	—
5,45 в.	"	92,8	—	-2,0	—	1,80	1,56	7,67 (78,2) (76,7)	—	12,9	19,2	-9,5	+9,9	-10,4	+9,2	+0,2	107,9	—	—	106,8	—	—
Ср.вел.	92	92,7	~ 9,3	+0,2	0,001	1,79	1,56	7,67	5,15	12,9	19,2	-9,3	+9,9	-10,3	+9,2	+0,6	107,8	—	—	106,6	—	—

Примѣчанія. Толщина испытуемаго материала  $\delta = 21,25$  мм. Весь единицы объема  $\gamma = 324$  кг./кб. м.

$$\mu = 43,6 + 0,102 \cdot 19,2 + 1,22 \cdot \left| \frac{19,1 - 19,7}{100} \right| = 45,6 \text{ } \mu v / ^{\circ}\Pi.$$

$$t_1 - t_2 = 2,00 \cdot \frac{107,8 + 106,6}{45,6} = 9,42 \text{ } ^{\circ}\Pi.$$

$$\lambda = \frac{5,15 \cdot 0,0212}{9,42 \cdot 0,211} = 0,055 \text{ кал./часъ/кв. м.}/^{\circ}\Pi.$$

19 V 15 27  
Протокол № 7. Испытание «Морозина» огнеупорного.

II,25 у	92	84,0	—	+1,0	—	1,69	1,56	7,62 (78,0) (76,2)	—	12,8	18,4	-9,0	+9,2	-9,0	+8,5	+1,0	97,2	—	—	96,2	—	—
II,35 у.	"	—	—	+2,0	—	1,69	1,56	7,65 (78,1) (76,5)	—	12,8	18,5	—	—	—	—	+1,0	97,2	—	—	96,2	—	—
II,45 у.	"	—	—	+1,0	—	1,69	1,56	7,62 (77,9) (76,2)	—	12,7	18,6	-9,2	+8,9	-9,3	+8,2	+0,9	97,6	—	—	96,6	—	—
Ср.вел.	92	84,0	~ 8,4	+1,3	0,008	1,69	1,56	7,63	5,10	12,8	18,5	-9,1	+9,1	-9,1	+8,4	+1,0	97,3	—	—	96,3	—	—

Примѣчанія. Толщина испытуемаго материала  $\delta = 20,5$  мм. Весь единицы объема  $\gamma = 346$  кг./кб. м.

$$\mu = 43,6 + 0,102 \cdot 18,5 + 1,22 \cdot \left| \frac{17,5 - 18,2}{100} \right| = 45,5 \text{ } \mu v / ^{\circ}\Pi.$$

$$t_1 - t_2 = 2,00 \cdot \frac{97,3 + 96,3}{45,5} = 8,52 \text{ } \Pi.$$

$$\lambda = \frac{5,10 \cdot 0,0205}{8,52 \cdot 0,211} = 0,058 \text{ кал./часъ/кв. м.}/^{\circ}\Pi.$$

19 VI 15 3  
Протокол № 8. Испытание «Морозина» съ волокномъ сильной прессовки.

4,30 д.	92	79,5	—	+2,0	—	1,70	1,57	7,75 (78,5) (77,5)	—	16,7	19,6	—	—	—	—	+1,0	90,0	—	—	88,9	—	—
4,40 д.	"	79,8	—	+2,0	—	1,70	1,56	7,75 (78,0) (77,5)	—	16,6	19,6	-4,8	+11,5	-5,0	+11,5	+0,3	90,0	—	—	89,3	—	—
4,50 д.	"	79,8	—	+2,0	—	1,68	1,56	7,75 (78,0) (77,5)	—	16,6	19,6	—	—	—	—	0,0	89,8	—	—	89,8	—	—
5,00 д.	"	79,9	—	+2,0	—	1,68	1,57	7,75 (78,5) (77,5)	—	16,6	19,5	-4,5	+11,5	-4,8	+11,5	-0,5	89,5	—	—	89,8	—	—
Ср.вел.	92	79,8	~ 8,0	+2,0	0,012	1,69	1,57	7,75	5,21	16,6	19,6	-4,7	+11,5	-4,9	+11,5	+0,2	89,8	—	—	89,5	—	—

Примѣчанія. Толщина испытуемаго материала  $\delta = 18,25$  мм. Весь единицы объема  $\gamma = 364$  кг./кб. м.

$$\mu = 43,6 + 0,102 \cdot 19,6 + 1,22 \cdot \left| \frac{23,0 - 9,6}{100} \right| = 45,8 \text{ } \mu v / ^{\circ}\Pi$$

$$t_1 - t_2 = 2,00 \cdot \frac{89,8 + 89,5}{45,8} = 7,84 \text{ } \Pi.$$

$$\lambda = \frac{5,21 \cdot 0,01825}{7,84 \cdot 0,211} = 0,058 \text{ кал./часъ/кв. м.}/^{\circ}\Pi.$$

## Протокол № 9. Испытание «Морозина» водоупорного сильной прессовки.

Годъ, мѣсяцъ и число.	Основ- ные термо- эле- менты (1—6)	Добавочное со- противление R Градусы Гальвано- метра	$R + \frac{104}{100}$	Прибл. средн. разница темпер.	Контроль- ные термоэле- менты	Электрический токъ	Центральная часть	$\frac{Q}{2} = 0,428 \cdot V \cdot A$	Количество тепла на одну пластину	Центральные термоэле- менты съ начальными спаями	Сторона A	Сторона B	Основные термоэлементы 1—1', 2—2', 3—3', 4—4', 5—5', 6—6' соединенные по группамъ послѣ- довательно									
													Сторона A	Сторона B	Сторона A	Сторона B						
19 $\frac{29}{V} 15$		$t_1 - t_2 = 0,51$	$R + \frac{104}{100}$										1—7	—	—	9—15	—					
		$t_1 - t_2 = 0,51$	$R + \frac{104}{100}$										1—4	4—7	—	9—12	12—15					
		$t_1 - t_2 = 0,51$	$R + \frac{104}{100}$										1—3	3—5	5—7	9—11	11—13	13—15				
Часы	$\Omega$	${}^{\circ}G$	${}^{\circ}\Pi$	${}^{\circ}G_K$	${}^{\circ}\Pi$	$A_K$	$A$	$V$	калор. часъ	${}^{\circ}\Pi$	${}^{\circ}\Pi$	${}^{\circ}G$	${}^{\circ}G$	${}^{\circ}G$	${}^{\circ}G$	${}^{\circ}G$	${}^{\circ}G$					
4,15 д.	92	82,4	—	0,0	—	1,62	1,57 (78,5) (77,3)	7,73	—	13,7	20,9	— 11,0	+ 6,0	— 10,0	+ 7,4	— 1,0	93,0	—	—	92,0	—	—
4,40 д.	"	82,0	—	0,0	—	1,62	1,57 (78,3) (77,0)	7,70	—	13,7	20,8	— 11,0	+ 6,0	— 9,9	+ 7,5	+ 1,3	92,9	—	—	91,5	—	—
5,05 д.	"	82,3	—	+ 2,0	—	1,62	1,57 (78,8) (77,5)	7,75	—	13,7	20,6	— 10,8	+ 6,4	— 9,5	+ 8,0	+ 1,7	93,3	—	—	91,5	—	—
5,25 д.	"	82,5	—	+ 2,0	—	1,62	1,57 (78,5) (77,3)	7,73	—	13,6	20,5	—	—	—	—	+ 2,0	93,5	—	—	91,5	—	—
Ср.вел.	92	82,3	$\approx 8,2$	+ 1,0	0,006	1,62	1,57	7,73	5,20	13,7	20,7	— 10,9	+ 6,2	— 9,7	+ 7,7	+ 1,0	93,2	—	—	91,6	—	—

Примѣчанія. Толщина испытуемаго материала  $\delta = 19$  мм. Весь единицы объема  $\gamma = 370$  кг./кб. м.

$$\mu = 43,6 + 0,102 \cdot 20,7 + 1,22 \cdot \left| \frac{13,9 - 20,6}{100} \right| = 45,6 \text{ } \mu v/\text{II.}$$

$$t_1 - t_2 = 2,00 \cdot \frac{93,2 + 91,6}{45,6} = 8,11 {}^{\circ}\Pi.$$

$$\lambda = \frac{5,20 \cdot 0,019}{8,11 \cdot 0,211} = 0,058 \text{ кал./часъ/кв. м}/\text{II.}$$

19  $\frac{7}{XII} 15$  Протокол № 10. Испытание «Шевелина» въ два слоя.

8,30 в.	290	68,0	—	-1,0	—	2,10	1,48 (74,0) (75,5)	7,55	—	12,8	13,5	- 0,1	+ 28,5	- 0,1	+ 28,2	+ 2,0	85,0	84,0	—	83,0	83,0	—
8,40 в.	"	67,8	—	-1,0	—	2,12	1,50 (75,0) (76,0)	7,60	—	12,6	13,5	—	—	—	—	+ 2,0	84,5	83,9	—	82,9	83,0	—
8,50 в.	"	67,8	—	-0,9	—	2,11	1,48 (73,9) (75,0)	7,50	—	12,4	13,5	—	—	—	—	+ 1,9	84,5	84,0	—	83,0	83,0	—
9,00 в.	"	67,8	—	-0,5	—	2,12	1,50 (75,0) (76,0)	7,60	—	12,3	13,6	- 1,5	+ 27,0	- 1,1	+ 26,8	+ 1,5	84,5	84,0	—	83,0	83,0	—
Ср.вел.	290	67,8	$\approx 13,6$	-0,8	0,005	2,11	1,49	7,56	4,84	12,5	13,5	- 0,8	+ 27,8	- 0,6	+ 27,5	+ 1,8	84,6	84,0	—	83,0	83,0	—

Примѣчанія. Толщина испытуемаго материала  $\delta = 2 \times 10,5$  мм. = 21 мм. Весь единицы объема  $\gamma = 139$  кг./кб.м.

$$\mu = 43,6 + 0,102 \cdot 13,5 + 1,22 \cdot \left| \frac{55,3 - 1,4}{100} \right| = 45,6 \text{ } \mu v/\text{II.}$$

$$t_1 - t_2 = \frac{[84,6 \cdot 83,2 + 84,0 \cdot 82,6 + 83,0 \cdot 83,2 + 83,0 \cdot 82,7] \cdot 0,268}{12 \cdot 45,6} = 13,6 {}^{\circ}\Pi.$$

$$\lambda = \frac{4,84 \cdot 0,021}{13,6 \cdot 0,211} = 0,036 \text{ кал./часъ/кв. м}/\text{II.}$$

19  $\frac{20}{XI} 15$  Протокол № 11. Испытание «Шевелина» въ два слоя.

7,30 в.	92	98,0	—	-1,0	—	2,10	1,55 (77,5) (75,9)	7,59	—	11,3	12,5	—	—	—	—	0,0	111,0	—	—	111,0	—	—
7,45 в.	"	98,0	—	0,0	—	2,10	1,55 (77,5) (75,8)	7,58	—	11,3	12,4	- 1,9	+ 18,5	- 1,6	+ 19,0	0,0	111,6	—	—	111,4	—	—
8,00 в.	"	99,0	—	0,0	—	2,10	1,54 (77,0) (75,3)	7,53	—	11,3	12,4	—	—	—	—	0,0	111,9	—	—	111,9	—	—
8,15 в.	"	99,0	—	-0,8	—	2,10	1,54 (77,1) (75,3)	7,53	—	11,3	12,4	- 1,8	+ 19,0	- 1,3	+ 19,0	0,0	111,9	—	—	111,9	—	—
Ср.вел.	92	98,5	$\approx 9,85$	-0,5	0,003	2,10	1,55	7,56	5,01	11,3	12,4	- 1,8	+ 18,8	- 1,4	+ 19,0	0,0	111,6	—	—	111,5	—	—

Примѣчанія. Толщина испытуемаго материала  $\delta = 2 \times 8$  м.м. = 16 мм. Весь единицы объема  $\gamma = 182$  кг./кб. м.

$$\mu = 43,6 + 0,102 \cdot 12,4 + 1,22 \cdot \left| \frac{37,8 - 3,2}{100} \right| = 45,3 \text{ } \mu v/\text{II.}$$

$$t_1 - t_2 = 2,00 \cdot \frac{111,6 + 111,5}{45,3} = 9,83 {}^{\circ}\Pi.$$

$$\lambda = \frac{5,01 \cdot 0,016}{9,83 \cdot 0,211} = 0,039 \text{ кал./часъ/кв. м}/\text{II.}$$

**Протоколъ № 12. Испытаніе «Шевелина» въ два слоя.**

*Примѣчанія.* Толщина испытуемаго матеріала  $\delta = 2 \times 5,5$  мм. = 11 мм.

Весь единицы объема  $\gamma = 265$  кг/кб. м.

$$\mu = 43,6 + 0,102 \cdot 10,4 + 1,22 \cdot \left| \frac{29,0 + 0,4}{100} \right| = 45,0 \text{ } \mu\text{V} / 0^{\circ}\text{H.}$$

$$t_1 - t_2 = 2,00 \cdot \frac{73,2 + 75,6}{45,0} = 6,6^{\circ}\text{H.}$$

$$\lambda = \frac{5,00 \cdot 0,011}{6,6 \cdot 0,211} = 0,040 \text{ кал./час./кв. м.}/^{\circ}\text{Ц}$$

Изъ приведенныхъ въ таблицѣ результатовъ испытаний видно, что «морозинъ» въ среднемъ имѣеть коэффициентъ теплопроводности выше коэффициента теплопроводности пробки почти на 33% при удѣльномъ вѣсѣ его, превосходящемъ удѣльный вѣсъ пробки болѣе, чѣмъ въ два раза.

«Шевелинъ» и по теплопроводности и по удѣльному вѣсу приближается къ пробкѣ. Коэффиціентъ теплопроводности «шевелина», какъ условный, поставленъ въ скобкахъ ( ). Условность коэффиціента теплопроводности полотенъ «шевелина» заключается, во-первыхъ, въ томъ, что «шевелинъ» не представляетъ собой однород-

## Результаты испытаний изоляционныхъ материаловъ.

№№ протоколовъ.	М а т е р i а л ъ.	Вѣсъ единицы объема γ кг / кб. м.	Толщина пластины δ мм.	Разница темпера- туръ $t_1 - t_2$	Средняя темпера- тура $t_1 + t_2$ 2	Число калорий въ часть на 1 кв. м. при разн. темпер. I <sup>0</sup> II.	Коэффициентъ теп- лопроводности λ
1	Пробковая пластина . . . . .	128	50,0	17,8	27		0,038
2	Пробковая пластина . . . . .	150	81,2	23,1	26,7		0,046
3	Пробковая пластина . . . . .	177	14,9	7,88	19,5		0,041
4	»Морозинъ« водоупорный, вто- рично пропитанный растворо- ромъ . . . . .	309	22,5	9,23	22,4		0,052
5	»Морозинъ« чистой костры . .	315	21,0	9,61	19,9		0,054
6	»Морозинъ« водоупорный . . .	324	21,2	9,42	19,2		0,055
7	»Морозинъ« огнеупорный . . .	346	20,5	8,52	18,4		0,058
8	»Морозинъ« съ волокномъ сильной прессовки . . . . .	364	18,2	7,84	21,2		0,058
9	»Морозинъ« водоупорный силь- ной прессовки . . . . .	370	19,0	8,11	19,8		0,058
10	»Шевелинъ« въ два слоя въ свободномъ состояніи (безъ сжатія) . . . . .	139	2×10,5	13,55	19,8	1,69	(0,036)
11	»Шевелинъ« въ два слоя легко сжатый . . . . .	182	2×8,0	9,83	16,5	2,42	(0,039)
12	»Шевелинъ« въ два слоя силь- но сжатый . . . . .	261	2×5,5	6,6	13,7	3,59	(0,040)

подсчетъ вводилась та толщина материала, какую онъ имѣлъ во время испытания въ станкѣ прибора, т. е. въ первомъ случаѣ 21 мм., во второмъ—16 мм. и въ третьемъ—11 мм. Въ виду условности коэффициента, въ таблицѣ на ряду съ коэффициентомъ теплопроводности даны также абсолютные значения числа калорий въ часъ на 1 кв. метръ при разности температуръ въ 1° Ц для полотенъ «шевелина», положенныхъ въ два слоя, безъ отнесенія ихъ къ какой-либо толщинѣ, выраженной въ миллиметрахъ.

Какъ видно изъ таблицы результатовъ испытаний,

коэффициентъ теплопроводности для всѣхъ этихъ материаловъ растетъ съ возрастаниемъ плотности прессовки или сжатія материала, и только въ опытѣ № 2 съ пробковой пластиной толщиной 81 мм. произошло нѣкоторое отклоненіе отъ этой зависимости. Отклоненіе это нельзя отнести ни къ неточности испытания, ни къ ошибкамъ въ наблюденіяхъ, а произошло лишь потому, что мы въ данномъ случаѣ имѣли дѣло съ нѣсколькою иными сортами пробки, отличие которыхъ отъ двухъ другихъ испытуемыхъ сортовъ было замѣтно и по болѣе темному цвету и по самой структурѣ.

(Отдѣльный оттискъ изъ № 10 «Вѣстника Инженеровъ» за 1916 г.)

БИБЛІОТЕКА  
ІМПЕРАТОРСКАГО  
МОСКОВСКОГО  
ТЕХНІЧЕСКОГО УЧИЛИЩА

ВЫШЛИ ИЗЪ ПЕЧАТИ СЛЕДУЮЩИЕ ВЫПУСКИ

# Извѣстій Механическаго Института.

- Вып. I. К. В. Киршъ. Общія указанія относительно постановки запятій въ П. Л. Процессъ растопки холоднаго котла. Тепловое состояніе и теплосодержаніе котла. Сравнительныя изслѣдованія котловъ при установившемся тепловомъ состояніи. (Распроданъ. См. Бюл. П. О. 1904 г. № 5).
- Вып. II. В. И. Гриневецкій. Графическій расчетъ парового котла. Цѣна 1 руб. 25 коп.
- Вып. III. К. В. Киршъ. Изслѣдованіе паровой установки Фряновской шерст. фабрики. Работа локомобильного котла П. Л. при новой нефтяной топкѣ. (Распроданъ. См. Бюл. П. О. 1906 г. № 6).
- Вып. IV. И. А. Калинниковъ. Изслѣдованіе причинъ разрыва парового котла. Испытаніе желѣзо-бетонныхъ брусьевъ. Испытаніе на разрывъ образцовъ съ выточкой или запиломъ. Вліяніе скручивания литого желѣза на его механическія свойства. Испытаніе литейнаго и ковкаго чугуна. Упругость приводныхъ ремней. Экстензометръ для ремней. Дефлектометръ. На какую глубину слѣдуетъ ввертывать желѣзнную шпильку въ чугунъ. Цѣна 1 руб.
- Вып. V. Студ. А. И. Ставровскій. Испытаніе форсунокъ. (Распроданъ. См. Бюл. П. О. 1907 г. № 6).
- Вып. VI. К. В. Киршъ. Опыты съ корицалійскимъ и водотрубнымъ котлами Л. П. К. при нефтяномъ отопленіи. Изслѣдованіе котельной центральной станціи московского трамвая. К. В. Киршъ и И. И. Куколовскій. Изслѣдованіе пароэлектрической установки центральной станціи И. М. Т. У. Цѣна 1 руб. 25 коп.
- Вып. VII. К. В. Киршъ. Изслѣдованіе установки изъ корицалійского котла, перегрѣвателя и жел. экономайзера прямого дѣйствія при нефтяномъ отопленіи и напряженіяхъ до 51 kg/m<sup>2</sup> въ часъ. Комбинированный котель Л. П. К. и опыты съ нимъ. Къ вопросу о теплопередачѣ въ паровыхъ котлахъ. Цѣна 1 руб.
- Вып. VIII. И. А. Калинниковъ. Экспериментальное изслѣдованіе растрѣбныхъ соединеній вырыванію. Химические составы и механическія свойства чугуновъ московскихъ литейныхъ заводовъ. Крѣпость заплечиковъ въ чугунныхъ деталяхъ. Вліяніе на результаты испытанія формы поперечнаго съченія чугунныхъ брусковъ, изъ которыхъ вытачиваются нормальные образцы для разрыва. Студ. Б. М. Лампсі. Испытаніе смазочныхъ маселъ. Цѣна 1 руб. 25 коп.
- Вып. IX. И. А. Калинниковъ. Экспериментальное изслѣдованіе растрѣбныхъ соединеній (сопротивленіе вырыванію). Цѣна 50 коп.
- Вып. X. И. А. Калинниковъ и В. Ф. Раздорскій. Материалы къ ученію о механическихъ свойствахъ растѣній. Цѣна 1 руб. 25 коп.
- Вып. XI. И. В. Арбатскій. Вліяніе дучеиспусканія на показаніе пиromетровъ. О погрѣшностяхъ при измѣреніи температуръ при помощи термоэлемента и гальванометра. Цѣна 50 коп.
- Вып. XII. К. В. Киршъ. Изслѣдованіе корицалійского, комбинированного и водотрубного котловъ Л. П. К. въ комбинаціи съ ребристымъ экономайзеромъ при напряженіяхъ до 55 kg/m<sup>2</sup> въ часъ. Водотрубный котель Л. П. К. съ вертикальными ходами и перегрѣвателемъ. Изслѣдованіе ребристаго экономайзера сист. „Р. Каблицъ“. Цѣна 1 руб. 50 коп.
- Вып. XIII. К. В. Киршъ. Изслѣдованіе южно-русскихъ антрацитовъ. Цѣна 2 руб.
- Вып. XIV. В. И. Ясинскій. Къ вопросу о діафрагменномъ измѣреніи расхода пара. Цѣна 1 руб. 50 коп.
- ✓ Вып. XV. К. В. Киршъ. Сжиганіе антрацитовъ съ легкоплавкой золой. Рѣшетки высокаго напряженія. Опыты съ уральскимъ антрацитомъ. Н. Г. Пацуковъ. Къ вопросу объ опредѣленіи степени легкоплавкости шлаковъ и золы. Карта порайоннаго распределенія антрацитовыхъ копей Донецкаго бассейна. Цѣна 1 руб. 50 коп.
- ✓ Вып. XVI. К. В. Киршъ. О подмосковномъ каменному углу. Опыты по сжиганію его въ Л. П. К. Предварительныя данныя объ опытахъ съ тощими углами Донецкаго бассейна. Цѣна 1 руб.
- Вып. XVII. Н. Р. Брилингъ. Примѣненіе спирта въ двигателяхъ внутренняго горанія. Цѣна 1 руб.
- Вып. XVIII. В. Е. Цыдзикъ и И. В. Арбатскій. Опредѣленіе коэффициентовъ теплопроводности изоляціонныхъ материаловъ „Шевелина“, „Морозина“ и пробковыхъ пластинъ. Цѣна 80 коп.